

طراحی و ساخت میکروحاملهای پلیمری قابل تزریق بارگذاری شده با داروی تیکوپلانین

عطاطوکلی^۱، شهره مشایخان^{۲*}، حسین بنی‌اسدی^۳ و ذبیح‌الله حسن‌زاده^۴

^۱ ایران، تهران، دانشگاه تهران، دانشکده مهندسی شیمی

^۲ ایران، تهران، دانشگاه صنعتی شریف، دانشکده مهندسی شیمی و نفت، گروه مهندسی پزشکی

^۳ ایران، تهران، دانشگاه آزاد اسلامی، واحد علوم و تحقیقات، دانشکده نفت و مهندسی شیمی

^۴ ایران، تهران، دانشگاه علوم پزشکی بقیه‌الله، مرکز تحقیقات ترومما

تاریخ دریافت: ۱۳۹۷/۱۰/۲۵ تاریخ پذیرش: ۱۳۹۷/۱۰/۲۶

چکیده

هدف اصلی از این پژوهه ساختن یک میکروحامل زیست‌سازگار و زیست تخریب‌پذیر قابل تزریق برای استفاده در دارو رسانی به استخوان و غضروف است. میکروحاملهای مناسب متشکل از کیتوسان و ژلاتین با استفاده از پمپ سرنگ مجهز به سامانه ولتاژ بالا ساخته شدن. نمونه‌ها با استفاده از سدیم تری پلی‌فسفات (*TPP*) شبکه‌ای شدند و داروی تیکوپلانین بر روی آنها بارگذاری شد. شبکه‌ای شدن نمونه‌ها با آزمون *FTIR* تأیید شد. همچنین مورفولوژی و ساختار آنها با استفاده از عکسبرداری میکروسکوپ الکترونی (*SEM*) بررسی شد. نتایج نشان داد که میکروحاملهایی با ساختار تقریباً کروی و اندازه مناسب برای تزریق در بدن (قطر μm 350 ± 50) با دبی $200 \mu\text{l}/\text{min}$ و ولتاژ $8/5 \text{ KV}$ تولید شده‌اند. به منظور کنده کردن آهنگ رهایش دارو، یک لایه نازک پلیمری از جنس کیتوسان روی میکروحاملهای پوشانده شد و سپس رهایش دارو مورد بررسی قرار گرفت. نتایج نشان داد که نرخ رهایش در نمونه‌های با پوشش پلیمری از ۴ روز به ۵ روز افزایش یافته است که برای کاربرد مورد نظر میکروحاملهای مناسب تر است. نتایج تست ضدپکروبی نیز مشخص ساخت که خاصیت ضد پکروبی داروی تیکوپلانین طی فرآیند ساخت حفظ شده است. در نهایت می‌توان نتیجه گرفت که میکروحاملهای ساخته شده پتانسیل استفاده در درمان عفونتهای غضروفی را دارا هستند.

واژه‌های کلیدی: تیکوپلانین، دارو رسانی، ژلاتین، کیتوسان، میکروحامل

* نویسنده مسئول، تلفن: ۰۲۱۶۶۱۶۴۱۴، پست الکترونیکی: mashayekhan@sharif.edu

مقدمه

سامانه‌های دارو رسانی باید مقدار کافی دارو را به محل هدف برسانند، رهایش پیوسته در یک مدت زمان خاص داشته باشند و زیست تخریب‌پذیر باشند تا احتیاج به عمل جراحی برای خارج کردن آنها نباشد (۱ و ۲).

در این پژوهش، تمرکز اصلی روی عفونتهای غضروف مفصل زانو که شمار زیادی از بیماران ارتودپدی درگیر آن می‌باشند، است. درمان نامناسب و یا با تأخیر این عفونتها می‌تواند موجب افزایش درد، فقدان عملکرد و گاه منجر به مرگ و میر گردد (۳ و ۴). عفونتهای غضروف مفصل اکثر

تکنولوژی رهایش دارو پس از پیدایش در دهه ۷۰ میلادی، به سرعت گسترش پیدا کرد. حاملهای دارو مانند لیپوزومها، مایسلهای دندانی، دندریمراهای و اخیراً میکرو و نانو ذرات انقلابی را در سامانه‌های دارو رسانی کنترل شده به وجود آورده‌اند (۱). از آنجا که بسیاری از داروهای موجود نمی‌توانند هدف اثرگذاریشان را بیابند، بازدهی مناسب و مطلوبی برای درمان بیماری ندارند؛ درنتیجه میزان قابل توجهی از دارو در بین بافت‌های سالم بدن پخش می‌شود و اغلب عوارض جانبی شدیدی را ایجاد می‌کند (۲). به طور کلی می‌توان گفت

تخربی‌پذیر و تیکوپلازین به عنوان آنتی‌بیوتیک انتخاب شده است. جهت ساخت نمونه‌ها نیز از روش ژل سازی یونی با استفاده از دستگاه ولتاژ بالا استفاده شده است. با توجه به تأیید زیست سازگاری و زیست تخریب‌پذیری ترکیب کیتوسان/ژلاتین در مطالعات قبلی (۸-۱۰)، در این تحقیق بیشتر بر روی بررسی رهایش دارو و نیز خواص ضد میکروبی میکروحامله تمکر شده است و سعی شده است تا پتانسیل کاربرد این میکروحاممل جهت استفاده در درمان عفونتهای غضروف مفصلی تأیید شود.

مواد و روشها

مواد: در این پژوهش کیتوسان با ویسکوزیته پایین و وزن ملکولی متوسط (۲۸۰ kD) و درجه استیل زدایی ۷۵-۸۵ درصد، ژلاتین گرید دارویی (نوع A)، محلول بافر فسفات نمکی (PBS) و سدیم تری پلی فسفات (TPP) ۸۵ درصد، همگی از شرکت سیگما-آلدریچ خریداری و استفاده شدند. همچنین اسید استیک و سدیم هیدروکساید (مرک-آلمان) و داروی تیکوپلازین با نام تجاری تارگوسید (سانوفی-سویس) مورد استفاده قرار گرفت.

ساخت میکروحامله: برای ساختن میکروحامله از محلولهای (w/v) ۸ درصد کیتوسان و ژلاتین استفاده شد. به منظور دستیابی به محلول (w/v) ۸ درصد کیتوسان، مقدار ۰/۰ گرم کیتوسان داخل ۱۰ میلی‌لیتر اسید استیک ۲ درصد ریخته و روی همزن مغناطیسی در دمای اتاق به مدت ۴۸ ساعت همزده شد تا پودر کیتوسان به خوبی حل و محلول همگن حاصل شود. برای تهیه محلول (w/v) ۸ درصد ژلاتین، مقدار ۰/۰ گرم پودر ژلاتین درون ۱۰ میلی‌لیتر آب دیونیزه ریخته شد و به مدت ۳ ساعت روی همزن مغناطیسی با دمای ۵۰ درجه سانتی گراد حل شد. محلولهای کیتوسان و ژلاتین ساخته شده به نسبت ۱ به ۱ با یکدیگر مخلوط و در دمای ۵۰ درجه سانتی گراد به مدت ۵ ساعت روی همزن مغناطیسی همزده شد.

به دلیل حضور میکروارگانیسمهای گرم مثبت از جمله استافیلوکوک، استرپتوكوک و بهویژه استافیلوکوکوس ارئوس ایجاد می‌شوند (۵-۶). به علت کم بودن رگهای خونی در این مناطق، درمان این نوع عفونتها کاری بسیار مشکل است و معمولاً شامل مصرف طولانی مدت آنتی‌بیوتیک و اغلب همراه با جراحی می‌باشد. امروزه سیمانهای ارتپادی عموماً از جنس پلی متیل متاکریلات (PMMA) که حاوی آنتی‌بیوتیک می‌باشند برای پیشگیری و درمان این نوع از عفونتها به کار می‌روند. آهنگ رهایش کم، زیست سازگاری ضعیف و نیاز به عمل جراحی دوم برای خارج کردن آنها از معایب سیمانهای PMMA است (۵). به عنوان جایگزین برای PMMA، اخیراً مواد قابل جذب مانند پلی‌لакتیک اسید (PLA) و سرامیکها پیشنهاد شده‌اند (۶). با این وجود تجهیزات ساخته شده از PLA معمولاً حاوی حلالهای آلی باقیمانده از فرآیند ساخت هستند و مواد سرامیکی نیز بسیار شکننده می‌باشند و بنابراین استفاده از آنها می‌تواند مشکل ساز باشد (۶).

هدف این مطالعه، طراحی و ساخت یک سیستم دارورسانی مناسب جهت درمان و پیشگیری عفونتهای غضروف مفصلی است. تحقیقات بسیاری نشان می‌دهند کیتوسان و ژلاتین هر دو دارای خاصیت ضد میکروبی هستند؛ به طوری که ترکیب این دو پلیمر برای ساخت حامل دارو، منجر به خاصیت ضد میکروبی محصول حتی بیشتر از هردو ماده به تنهایی شده است (۷). همچنین زیست سازگاری و زیست تخریب‌پذیری این ترکیب به تنهایی و نیز در کنار هم به خوبی اثبات شده است (۸-۹). از سوی دیگر مطالعات مشخص ساخته‌اند که داروی تیکوپلازین که یک آنتی‌بیوتیک با طیف وسیعی از فعالیت می‌باشد، بسیاری از ارگانیسمهای هوایی و بیهوایی از جمله استافیلوکوکوس ارئوس مقاوم به متیسیلین که شایع‌ترین میکروارگانیسم برای عفونتهای استخوان است را پوشش می‌دهد (۶). به همین منظور در تحقیق حاضر پلیمرهای ژلاتین و کیتوسان برای ساخت میکرو حامل زیست

جهت محاسبه میزان داروی بارگذاری شده درون میکروحاملهای، مقدار مشخصی نمونه خشک بارگذاری شده با دارو درون محلول PBS غوطه‌ور و به مدت ۲۴ ساعت به شدت همزده شد تا میکروحاملهای کاملاً تخریب و داروی بارگذاری شده در آنها کاملاً خارج شود. سپس با استفاده از روش جذب، میزان داروی بارگذاری شده محاسبه شد. راندمان بارگذاری دارو در نمونه‌ها که از تقسیم میزان داروی بارگذاری شده بر میزان کل داروی موجود در محلول به دست آمد، ۱/۶ درصد بود که بیانگر بارگذاری کم دارو توسط این روش است.

پوشش‌دهی میکروحاملهای حاوی دارو: برای رهایش مطلوب‌تر، لایه نازک پلیمری روی حاملهای حاوی دارو پوشش داده شد. این لایه پلیمری نیز باید زیست سازگار بوده و همچنین نباید از قابلیت تزریق‌پذیر بودن نمونه‌ها جلوگیری کند. با توجه به این شرایط، محلول رقیق کیتوسان به عنوان لایه پوشش‌دهنده انتخاب شد. برای پوشش دادن میکروحاملهای حاوی دارو با کیتوسان، پس از بارگذاری دارو و خشک شدن، نمونه‌ها داخل محلول ۰/۸ (w/v) درصد کیتوسان خشی شده با سود به مدت ۱۰ دقیقه با همزن آرام غوطه‌ور شدند و سپس در دمای اتاق به مدت ۱۲ ساعت خشک شدند (۱۴، ۱۵ و ۱۶).

مطالعات ساختاری: مطالعه روی مورفولوژی میکروحاملهای بهینه بدون دارو و حاوی دارو و دارای پوشش کیتوسان به وسیله عکس‌برداری SEM انجام شد. نمونه‌های ساخته شده پس از آماده سازی و پوشش‌دهی توسط طلا، تحت آزمون SEM قرار گرفتند. به منظور مطالعه پیوندهای برقرار شده بین کیتوسان و ژلاتین و همچنین برای بررسی صحت شبکه‌ای شدن نمونه‌ها، تست FTIR از کیتوسان خالص، ژلاتین خالص و میکروحامل ساخته شده، گرفته شد.

رهایش دارو در محیط برون تنی: رهایش دارو از میکروحامل کیتوسان-ژلاتین بارگذاری شده با دارو، در

در این تحقیق، برای ساخت میکروحاملهای به شیوه ژل‌سازی یونی، ابتدا محلول پلیمری درون سرنگ به کمک پمپ سرنگی به درون محلول شبکه کننده (محلول TPP با غلظت ۵ w/v درصد) چکانده شد. میدان مغناطیسی ایجاد شده باعث می‌شود که قطره‌های تشکیل شده از نوک سوزن زودتر جدا شوند و کره‌های کوچک‌تری درون محیط شبکه کننده ریخته شود. تمام مراحل فوق در زیر ۳ بار با آب دیونیزه شستشو داده شد تا TPP سطحی روی میکروحاملهای به طور کامل شسته شود. لازم به ذکر است که برای ساخت میکروحاملهای شش حالت مختلف به لحاظ ولتاژ اعمالی و نیز دبی جریان در نظر گرفته شد. چون هدف ساخت میکروحامل برای تزریق درون بدن می‌باشد، نمونه‌ای مطلوب است که قطر آن در محدوده مناسب (۳۸۰-۱۵۰ μm) برای تزریق درون بدن باشد (۱۰). با توجه به پیش آزمایش‌های انجام شده، دبی جریان و ولتاژ مناسب به ترتیب ۳۰۰ μl/min و ۸/۵ kV انتخاب شد.

بارگذاری دارو: به منظور بارگذاری بهتر دارو داخل میکروحاملهای، نسبت سطح به حجم با متخلخل کردن نمونه‌ها افزایش داده شد. برای متخلخل کردن میکروحاملهای از روش خشک کردن انجمادی (دما ۴۰- درجه، خلا mbar ۱، زمان ۲۴ ساعت) استفاده شد. پس از متخلخل کردن میکروحاملهای، نمونه‌ها استریل شدند، به این ترتیب که ابتدا میکروحاملهای متخلخل شده به مدت ۴ ساعت درون اتانول (v/v) ۷۰ درصد غوطه‌ور شدند؛ سپس سه مرتبه با آب دیونیزه شستشو داده شدند و در نهایت در زیر هود استریل به مدت ۲۴ ساعت خشک شدند (۲۳). نمونه‌های استریل شده درون محلول داروی تیکوپلاتین با غلظت ۸۰ mg/ml به مدت ۳ ساعت غوطه‌ور شدند تا دارو به مقدار کافی بارگذاری شود (۱۱، ۱۲، ۱۳ و ۲۳). نمونه‌های حاوی دارو دو بار با آب مقطر شستشو داده شدند؛ سپس به مدت ۱۲ ساعت در دمای اتاق و شرایط استریل خشک شدند.

حاوی باکتری ایجاد و $200\text{ }\mu\text{l}$ از محلول حاصل از رهایش دارو (مربوط به پایان روزهای اول و آخر رهایش) درون چاهک ریخته شد. پلیتهای حاوی میکروب و دارو به مدت ۱۸ ساعت در دمای 37°C درجه انکوبه شدند و سپس قطره اهاله ایجاد شده دور نمونه‌ها به عنوان معیاری از فعالیت ضدبacterیایی دارو اندازه‌گیری شد. برای نمونه‌های کترول از پودر دارو محلولهایی با غلظتها به دست آمده از آزمایشها در روزهای مدنظر آزمایش (اول و پنجم)، تهیه شد. از آب مقطر به عنوان کترول منعی استفاده شد.

مطالعات آماری: هر آزمایش به تعداد سه بار انجام شد و مقادیر میانگین گزارش شد. داده‌ها با استفاده از نرم افزار SPSS.18 تجزیه و تحلیل شدند و مقدار P-value کمتر از 0.05 در نظر گرفته شد.

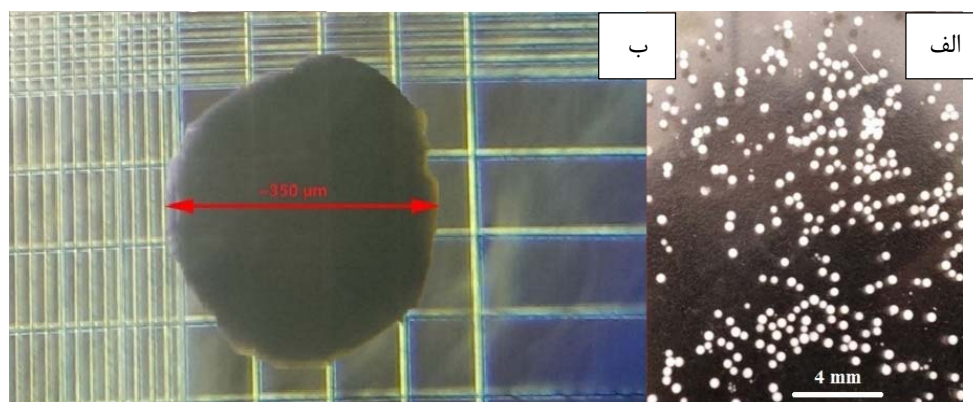
نتایج و بحث

مطالعه ساختاری و گروههای عاملی در میکروحاملهای همان طور که قبلاً نیز اشاره شد برای تولید میکروحاملهای شرایط مختلفی به لحاظ دبی جریان و نیز ولتاژ اعمالی در نظر گرفته شد که در نتیجه، میکروحاملهای با قطرهای مختلف تولید شدند. قطر مناسب برای میکروحاملهای جهت تزریق در بدن در محدوده $\mu\text{m} 380-150$ می‌باشد (10). بنابراین، دبی پمپ سرنگ و ولتاژ اعمالی به ترتیب $\mu\text{l/min}$ و 300 و $8/5\text{ KV}$ انتخاب شد تا قطر نمونه‌های تولید شده در محدوده مناسب برای کاربرد مورد نظر باشند. همچنین، قابلیت تزریق حاملهای ساخته شده با شرایط بهینه تولید، توسط یک آثربوکت شماره 17 بررسی شد و مشاهده شد که آسیبی به میکروحاملهای وارد نشده است. با استفاده از میکروسکوپ نوری از میکروحاملهای ساخته شده با شرایط بهینه عکس‌برداری شد تا قطر نمونه‌ها مشخص شود (شکل ۱). همان طور که مشاهده می‌شود قطر میکروحاملهای بهینه حدود $\mu\text{m} 350 \pm 50$ می‌باشد که نشان دهنده قابل تزریق بودن آنهاست.

محلول PBS مورد بررسی قرار گرفت. بدین منظور هر دو نوع میکروحاملهای بدون پوشش کیتوسان و پوشش داده شده با کیتوسان، در محلول PBS غوطه‌ور شدند ($8\text{ میلی گرم میکروحاملهای در هر میلی لیتر PBS}$). سپس نمونه‌ها درون انتکوباتور در دمای 37°C درجه قرار گرفتند. به منظور بررسی رهایش در زمانهای $1, 6, 12$ و 24 ساعت در روز اول و پس از آن هر 24 ساعت به مدت 7 روز، $0/5\text{ میلی لیتر از محیط رهایش برداشته شد$ و همان مقدار PBS از پیش گرم شده جایگزین شد. سپس توسط اسپکتروفوتومتر UV-Vis در طول موج 248 nm اندازه‌گیری شد و با مقایسه با منحنی استاندارد، درصد تجمعی داروی رهایش پیدا کرده در هر زمان با استفاده از معادله 1 محاسبه شد:

$$\text{CDR \%} = \frac{C_n V_0 + V_s \sum_{i=1}^{n-1} C_i}{\text{Total loaded drug}} \times 100 \quad (1)$$

در رابطه فوق C_i غلظت نمونه برداشته شده از محلول رهایش در زمان i ، V_s حجم محلول خالص جایگزین شده ($0/5\text{ ml}$)، V_0 حجم اولیه محلول رهایش و C_n غلظت نهایی محلول رهایش بعد از اتمام آزمایش می‌باشد. آزمون ضدبacterیوی: برای اثبات فعالیت داروی رها شده از میکروحاملهای و حفظ خاصیت ضدبacterیوی، آزمون ضدبacterیوی با استفاده از دو نوع باکتری سودوموناس آئروژنیوزا (گرم منفی) و استافیلکوکوس آرئوس (گرم مثبت) (17) برای حاملهای پوشش داده شده با کیتوسان با استفاده از روش انتشار چاهک (19 و 20) انجام شد. برای کشت دادن باکتریها از محیط مولر هیتون آگار استفاده شد؛ به این ترتیب که $5/6\text{ g}$ پودر آگار نوتریت درون 200 ml آب مقطر تحت دما حل شد. محلول به دست آمده درون اتوکلا استریل گردید. محلول استریل آگار درون پلیتهای پلی‌اتیلنی ریخته شد. سپس باکتریها به پلیتهای حاوی محیط آگار اضافه شد. پلیتهای حاوی باکتری به مدت 24 ساعت انکوبه شدند تا باکتری رشد کند و تمام سطح محیط را پوشش دهد. سپس چاهکهای روی محیط آگار

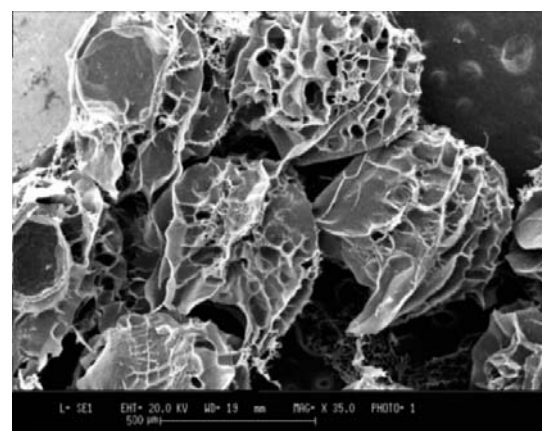


شکل ۱- تصویر میکروسکوپ نوری از حامل‌های ساخته شده با شرایط بهینه: (الف) تجمع میکروحاملهای ساخته شده با شرایط بهینه: (الف) تجمع میکروحاملهای ساخته شده با شرایط بهینه: (ب) یک میکروحامل

از خشک کردن انجمادی در میکروحاملهای خوبی ایجاد شده است. بنابراین انتظار می‌رود که میزان جذب و رهایش داروی تیکوپلانین از میکروحاملهای ساخته شده مقدار قابل توجهی باشد. نکته‌ای که باید به آن اشاره شود این است که ساختار تقریباً کروی شکل با قطر حدود 350 ± 50 μm از تصاویر SEM نیز قابل ملاحظه می‌باشد. به عبارت دیگر تصاویر SEM یافته‌های حاصل از تصویربرداری با میکروسکوپ نوری مبنی بر کروی بودن و قطر مناسب میکروحاملهای ساخته شده را تأیید می‌کند.

همان طور که قبلاً نیز اشاره شد برای رهایش مطلوب‌تر دارو و جلوگیری از رهایش ناگهانی آن، پوشش نازکی از کیتوسان پیامون دارو کشیده شد. شکل ۲الف تصویر SEM تهیه شده از میکروحامل بارگذاری شده با دارو بعد از پوشش با کیتوسان را نشان می‌دهد. همان طور که مشاهده می‌شود وجود پوشش بر روی میکروحامل از روی مقایسه با تصاویر میکروحاملهای متخلخل بدون پوشش، قابل اثبات می‌باشد؛ همچنین خلل و فرجهای موجود در نمونه به میزان قابل توجهی کاهش یافته است. بنابراین انتظار می‌رود که میزان رهایش دارو در نمونه با پوشش نسبت به نمونه بدون پوشش کیتوسان، کاهش نشان دهد (به این مورد در بخش آزمایش رهایش دارو پرداخته شده است). نکته دیگری که از تصویر SEM قابل دستیابی می‌باشد حفظ ساختار کروی و نیز اندازه میکروحامل بعد از بارگذاری و پوشش آن با کیتوسان است. به منظور بررسی

مواد متخلخل به دلیل ویژگیهای مناسبی که دارند از جمله ساختار متخلخل یکنواخت و پایدار، سطح تماس بالا، اندازه حفرات موزون با توزیع باریک و خواص سطحی مناسب، برای رهایش کترول شده دارو بیشتر مورد توجه قرار دارند (۱۹). میکروحاملهای متخلخل دارای نانوحفات بسیار زیاد می‌باشند که قابلیت نگهداری دارو را افزایش می‌دهند. به عبارت دیگر میکروحاملهای متخلخل این توانایی را خواهند داشت که فرآیند جذب و رهایش دارو را به میزان بیشتر و قابل پیش‌بینی تری انجام دهند. بنابراین، به منظور بررسی متخلخل شده طی فرآیند خشک کردن انجمادی، تصویر SEM تهیه شد (شکل ۲).

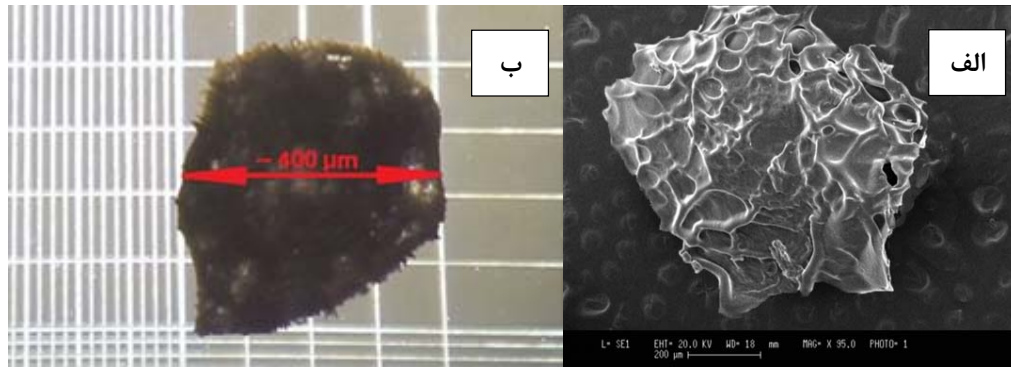


شکل ۲- تصویر SEM از میکروحاملهای متخلخل شده توسط فرآیند خشک کردن انجمادی

همان طور که مشاهده می‌شود ساختار کاملاً متخلخل ناشی

باعث شده تا ساختار ظاهری آنها اندکی تغییر کند، اما کماکان حالت کروی حفظ شده است. علاوه بر این اندازه میکروحامد تغییر چشمگیری پیدا نکرده است و همچنان در محدوده مناسب برای تزریق در بدن می‌باشد.

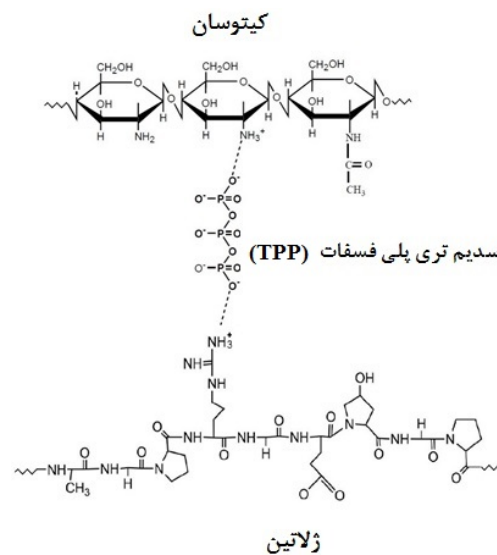
تأثیر بارگذاری دارو و نیز پوشش‌دهی بر روی ساختار کروی و اندازه میکروحامد، از نمونه بارگذاری شده با دارو که دارای پوشش کیتوسانی است، تصویر میکروسکوپ نوری نیز تهیه شد (شکل ۳ب). همان طور که مشاهده می‌شود بارگذاری دارو و پوشش‌دهی میکروحامملها با کیتوسان



شکل ۳- تصاویر تهیه شده از میکروحامد حاوی دارو و پوشش شده با کیتوسان: (الف) SEM و (ب) میکروسکوپ نوری

به منظور بررسی گروههای عاملی در میکروحامملهای اتصال عرضی شده از کیتوسان خالص، ژلاتین خالص و نمونه تولید شده با شرایط بهینه تست FTIR تهیه شد (شکل ۵). همان طور که مشاهده می‌شود تمامی نمونه‌ها یک پیک قوی در حدود 3430 cm^{-1} نشان می‌دهند که مربوط به گروههای آمینو (-NH_2) و هیدروکسیل (-OH) می‌باشد (۸ و ۲۱). در نمونه کیتوسان خالص یک پیک در محدوده $2840\text{--}3000\text{ cm}^{-1}$ مشاهده می‌شود که مربوط به گروههای -CH_3 و -CH_2 موجود در کیتوسان است (۸). همچنین در طیفهای مربوط به کیتوسان خالص یک پیک در 1641 cm^{-1} مشاهده می‌شود که مربوط به خمین پیوند N-H است (۸). در ژلاتین خالص نیز پیک 1638 cm^{-1} مربوط به گروه کربونیل (C=O) می‌باشد. همچنین پیکهای ظاهر شده در محدوده $1000\text{--}1400\text{ cm}^{-1}$ مربوط به گروههای مختلف آمین است (۲۲). در طیف مربوط به میکروحامد، ترکیبی از طیفهای کیتوسان و ژلاتین خالص با اندکی تفاوت قابل مشاهده می‌باشد. پیکهای مربوط به N-H کیتوسان و C=O در ژلاتین به 1639 cm^{-1} انتقال پیدا کرده است. این انتقال برای هر دو گروه آمین و کربونیل نشان دهنده ایجاد

ژلاتین در محیطهای اسیدی دارای بار مثبت است. کیتوسان نیز دارای بار مثبت می‌باشد. براساس مطالعات گذشته (۸) انتظار می‌رود که گروه NH_3^+ در کیتوسان و ژلاتین با O^- در شبکه کننده TPP پیوند برقرار کنند. در شکل ۴ نمای کلی واکنش بین کیتوسان، ژلاتین و TPP نشان داده شده است.

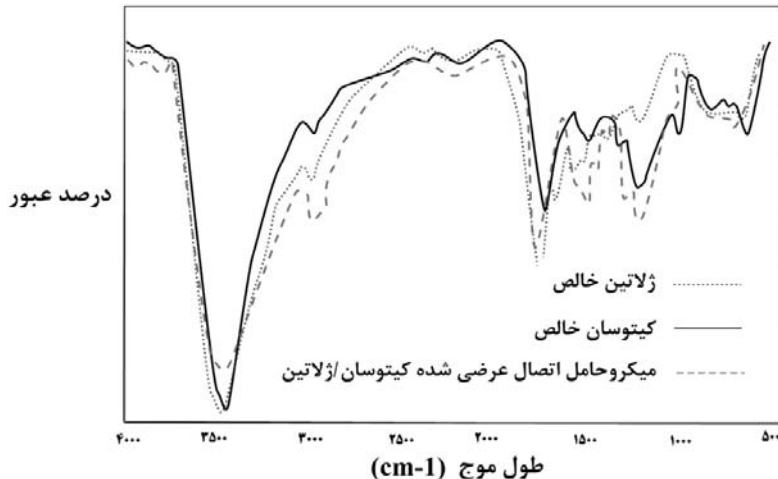


شکل ۴- نمای کلی واکنش بین زنجیره کیتوسان و ژلاتین در حضور شبکه کننده TPP

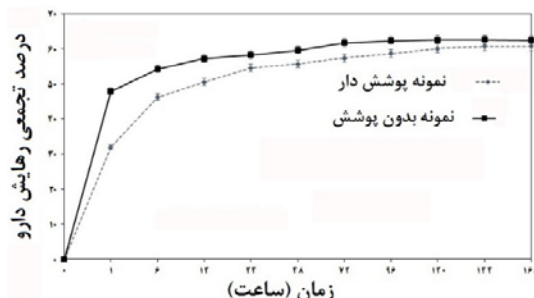
پژوهش، در مورد نمونه‌های کیتوسان-ژلاتین مشاهده شد که یک پیوند در 1132 cm^{-1} وجود دارد که مربوط به کشش پیوند $\text{P}=\text{O}$ - در یون فسفات می‌باشد. این امر حضور TPP در محصول نهایی و در نتیجه صحبت شبکه‌ای شدن زنجیره‌های کیتوسان و ژلاتین را در حضور شبکه کننده TPP اثبات می‌کند.^{(۲۵) و (۲۶)}

ترکیبی با پیوند هیدروژنی بین کیتوسان و ژلاتین است.^(۲۱)

گولارت و همکاران^(۲۵) در تحقیقی اثبات کردند نمونه‌های شبکه‌ای شده کیتوسان با TPP یک پیک جدید را در 1150 cm^{-1} نشان می‌دهند. این پیک به پیوند دو گانه P و O اشاره می‌کند. در طیفهای گرفته شده برای این



شکل ۵- نمودار FTIR از کیتوسان خالص، ژلاتین خالص و میکروحاممل اتصال عرضی شده کیتوسان/ژلاتین



شکل ۶- نمودار رهایش تجمعی داروی تیکوپلانین از میکروحاممل کیتوسان-ژلاتین

در پایان روز اول مقدار داروی تجمعی آزاد شده برای نمونه بدون پوشش برابر $58/21\text{ }\mu\text{g/ml}$ درصد معادل $148/033\text{ }\mu\text{g/ml}$ برای نمونه پوشش داده شده با کیتوسان برابر $54/52\text{ }\mu\text{g/ml}$ معادل $138/650\text{ }\mu\text{g/ml}$ می‌باشد. در تحقیقی مشابه جیا و همکارانش^(۲۷) ساخت و بررسی حاملهای سولفات کلسیم بارگذاری شده با داروی تیکوپلانین را برای درمان عفونتهای استخوانی در مورد نمونه حیوانی گزارش کردند. آنها نیز مشاهده کردند که رهایش دارو از حامل مذکور بعد

رهایش دارو: روند رهایش دارو از میکروحاممل حاوی دارو در محیط بافر فسفات و در دمای 37°C درجه سانتی گراد مورد بررسی قرار گرفت. نمودار رهایش داروی تیکوپلانین از میکروحاممل کیتوسان-ژلاتین با پوشش کیتوسان و بدون پوشش در زمانهای مختلف در شکل ۶ نشان داده شده است. همان طور که مشاهده می‌شود مقدار داروی رها شده از میکروحاممل بدون پوشش و با پوشش کیتوسانی پس از یک ساعت به ترتیب برابر $47\text{ }\mu\text{g}$ درصد و $32\text{ }\mu\text{g}$ درصد می‌باشد که گویای رهایش ناگهانی دارو در نمونه بدون پوشش و تأثیر مثبت پوشش نازک پلیمری در جلوگیری از رهایش ناگهانی دارو می‌باشد. در تحقیقی که توسط موفق و همکارانش^(۱۲) بر روی رهایش دارو از میکروحامملهای کیتوسانی انجام شد نیز نشان دهنده رهایش زیاد دارو از میکروحاممل در روز اول نسبت به روزهای دیگر بود.

رفتن روکش نازک کیتوسانی در ساعت اولیه رهایش در اثر رهایش زیاد دارو می‌باشد. به عبارت دیگر در پایان روز اول رهایش مقدار قابل توجهی از پوشش کیتوسان پیرامون میکروحاممل در اثر رهایش دارو از بین رفته است و رهایش هر دو نمونه با پوشش و بدون پوشش تقریباً با نرخ یکسانی ادامه یافته است.

با توجه به نتایج به دست آمده از تست رهایش دارو تیکوپلانین از میکروحامملهای ساخته شده در کار تحقیقاتی حاضر و مقایسه آن با نتایج دیگر محققین می‌توان نتیجه گرفت میکروحامملها نتایج مناسبی برای رهایش دارو نشان می‌دهند.

آزمون ضدمیکروبی: برای بررسی تأثیر فرآیند ساخت میکروحامملها بر روی ماهیت ضدمیکروبی داروی تیکوپلانین از آزمون ضدمیکروبی با استفاده از دو نوع باکتری سودوموناس آئروژینوزا (گرم منفی) و استافیلکوکوس آرئوس (گرم مثبت) استفاده شد. غلظت نمونه‌های کنترل به کار گرفته شده در این آزمون عبارت بودند از $138 \mu\text{g}/\text{ml}$ و $152 \mu\text{g}/\text{ml}$ که به ترتیب معادل غلظت داروی آزاد شده در پایان روزهای اول و پنجم رهایش برای نمونه‌های پوشش داده با کیتوسان است. از آب قطره به عنوان کنترل منفی استفاده شد.

در پایان آزمون مشاهده گردید که هاله‌ای دور چاهکها به وجود آمده است. قطره هاله ایجاد شده در محیط استافیلکوکوس آرئوس و سودوموناس آئروژینوزا در شکل ۷ آورده شده است. همان طور که مشاهده می‌شود قطره هاله در محیط‌های استافیلکوکوس آرئوس و سودوموناس آئروژینوزا برای محلولهای حاصل از رهایش دارو در پایان روز اول به ترتیب $cm \pm 0/12$ و $0/11 \pm 0/014$ cm (۷) بر روی خاصیت ضدمیکروبی ترکیب کیتوسان/ژلاتین با استفاده از این دو نوع باکتری مطالعاتی انجام دادند. آنها نشان دادند که قطره هاله ایجاد شده در محیط‌های

از گذشت یک روز $49/08$ درصد می‌باشد. ژانگ و همکارانش (۲۸) نیز ساخت و بررسی حاملهای کیتوسانی بارگذاری شده با داروی تیکوپلانین را برای درمان عفونتهای استخوانی در نمونه حیوانی گزارش دادند. آنها نیز مشاهده کردند که بعد از گذشت یک روز میزان رهایش دارو $47/46$ درصد می‌باشد. بنابراین به نظر می‌رسد به طور کلی میزان رهایش از حاملهای کیتوسانی بارگذاری شده با داروی تیکوپلانین در روز اول آزمایش زیاد است.

پس از پایان روز اول آهنگ رهایش دارو در هر دو نمونه با پوشش و بدون پوشش کاهش یافته است. در هر دو نمونه میزان رهایش از روز ششم به بعد ثابت باقی مانده است و تا روز سی ام تغییر قابل توجهی در رهایش دارو مشاهده نشده است. به عبارت دیگر مقدار نهایی رهایش دارو از نمونه‌های بدون پوشش و دارای پوشش به ترتیب بر روی اعداد 62 درصد ($158/310 \mu\text{g}/\text{ml}$) و 60 درصد ($152/77 \mu\text{g}/\text{ml}$) ثابت شده است. لازم به ذکر است که به دلیل عدم تغییر قابل توجه در میزان رهایش دارو از میکروحامملهای ساخته شده از روز هفتم به بعد، داده‌های رهایش برای روزهای هشتم تا سی ام در شکل ۶ نشان داده نشده است.

نتایج تحقیقات دیگر محققین (۱۳، ۲۶، ۲۷ و ۲۸) در این زمینه نیز نشان می‌دهد که رهایش داروی تیکوپلانین از حامل آن حدود یک هفتگه به طول می‌انجامد و پس از آن رهایش قابل توجهی حتی پس از گذشت یک ماه از آزمایش، مشاهده نمی‌شود.

نکته دیگری که از شکل ۶ قابل مشاهده می‌باشد کاهش اختلاف در میزان رهایش دارو بین نمونه‌های با پوشش و بدون پوشش بعد از گذشت 24 ساعت از رهایش می‌باشد؛ به طوری که 1 ساعت بعد از رهایش این اختلاف حدود 15 درصد بوده است در حالیکه بعد از پایان روز اول این اختلاف به حدود 4 درصد و در پایان روز هفتم به حدود 2 درصد رسیده است. این پدیده احتمالاً به دلیل از بین

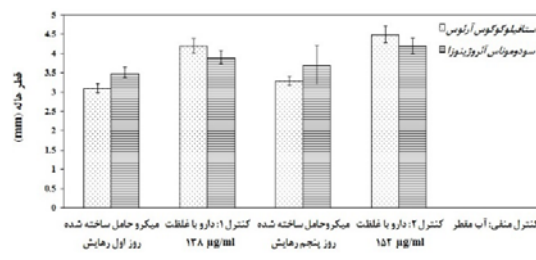
شده در آزمایشها نسبت به داروی خالص اثر خود را اندکی از دست داده است، اما همچنان تأثیر ضد میکروبی مناسبی را از خود نشان می‌دهد.

نتایج به دست آمده در این کار تحقیقاتی نشان داد که میکروحاملهای متخلخل ساخته شده از ترکیب کیتوسان/ژلاتین که با ماده TPP اتصال عرضی شده‌اند توانایی جذب و رهایش کترول شده داروی تیکوپلانتین که در درمان عفونتهای غضروفی کاربرد دارد را به خوبی دارا هستند. با این وجود در ساعات آغازین، رهایش دارو به صورت ناگهانی است و نیاز به بهینه سازی‌های بیشتر در این زمینه احساس می‌شود؛ با این وجود کماکان خاصیت ضد باکتریایی داروی بارگذاری شده طی فرآیند تولید به میزان قابل قبولی حفظ شده است. بنابراین، می‌توان انتظار داشت که میکروحاملهای مذکور پتانسیل تزریق درون بدن جهت درمان عفونتهای غضروفی را دارا باشند.

نتیجه‌گیری

در این تحقیق میکروحاملهای متخلخل کیتوسان/ژلاتین با قطری در حدود $350 \pm 50 \mu\text{m}$ با استفاده از دستگاه پمپ تزریق مجهز به سیستم ولتاژ بالا تولید شدند. این حاملها قابلیت تزریق درون بدن را دارا می‌باشند. همچنین نتایج رهایش داروی تیکوپلانتین از این حاملها مشخص ساخت که نمونه‌های تولیدی می‌توانند طی مدت ۵ روز تا حدود ۶۰ درصد رهایش داشته باشند. همچنین خاصیت ضد میکروبی داروی تیکوپلانتین در حین فرآیند تولید حفظ شد. بنابراین می‌توان انتظار داشت که ترکیب اتصال عرضی شده کیتوسان/ژلاتین حامل مناسبی برای بارگذاری دارو تیکوپلانتین باشد و بتوان از این حاملها جهت درمان عفونتهای غضروفی و استخوانی درون بدن استفاده نمود.

استافیلولکوکوس آرئوس و سودوموناس آئروژینوزا یک روز بعد از آزمایش به ترتیب $0.06 \pm 0.01 \text{ cm}$ و $0.04 \pm 0.02 \text{ cm}$ می‌باشد. بنابراین، نتایج حاصل از تحقیق حاضر بیانگر تأثیر مثبت بارگذاری دارو بر روی خاصیت ضد میکروبی ترکیب کیتوسان/ژلاتین است. قطر هاله برای نمونه کترول در پایان روز اول در محیط‌های استافیلولکوکوس آرئوس و سودوموناس آئروژینوزا به ترتیب برابر $0.19 \pm 0.02 \text{ cm}$ و $0.17 \pm 0.03 \text{ cm}$ به دست آمد که نشان دهنده کاهش اندک فعالیت داروی بارگذاری شده نسبت به داروی خالص است. کاهش فعالیت داروی بارگذاری شده نسبت به داروی خالص در کارهای تحقیقاتی دیگران نیز مشاهده شده است (۲۸ و ۲۹).



شکل ۷- قطر هاله‌های ایجاد شده دور نمونه‌ها

همان طور که مشاهده می‌شود قطر هاله تشکیل شده در هر دو محیط استافیلولکوکوس آرئوس و سودوموناس آئروژینوزا برای محلولهای حاصل از رهایش در پایان روز پنجم نسبت به نمونه‌های مشابه در روز اول رهایش افزایش یافته است که نشان دهنده افزایش خاصیت ضد میکروبی آنها می‌باشد. با این وجود همانند روز اول رهایش، در این حالت نیز فعالیت ضد میکروبی نمونه‌های کترول (داروی خالص با غلظت مشابه) نسبت به میکروحاملها بیشتر بوده است. نتایج حاصل بیانگر این مطلب است که داروی آزاد شده از میکروحاملها در پایان این دو روز به خوبی توانسته است از رشد هر دو نوع باکتری استافیلولکوکوس آرئوس و سودوموناس آئروژینوزا جلوگیری کند. به عبارت دیگر با وجودی که داروی آزاد

منابع

- 1- Aalami Harandi B, 1382, Textbook of orthopedics and Fractures, 1st edition, Tehran University of Medical Science Publications.
- 2- Adibkia K, Barzegar-Jalali M, Javadzadeh Y, Bayrami R, Mohammadi G, 2012, A review on the porous adsorbents in drug delivery systems, *Pharm Sci.*, 18, 2, 103-118.
- 3- Ahuja G, Pathak K, 2009, Porous Carriers for Controlled/Modulated Drug Delivery, *Indian J Pharm Sci.*, 71, 6, 599–607.
- 4- Anal AK, Stevens WF, 2005, Chitosan-alginate multilayer beads for controlled release of ampicillin, *Int. J. Pharm.*, 290, 1, 45-54.
- 5- Baniasadi H, Ramazani A, Mashayekhan S, 2015, Fabrication and characterization of conductive chitosan/gelatin-based scaffolds for nerve tissue engineering, *Int. J. Biol. Macromol.*, 74, 360–366.
- 6- Bindu TVLH., Vidyavathi M, Kavitha K, Sastry TP, 2011, Preparation and evaluation of gentamicin loaded chitosan-gelatin composite films for wound healing activity, *Int. J. Appl. Biol. Pharm. Technol.*, 2, 453-463.
- 7- Dai T, Tanaka M, Huang YY, Hamblin MR, 2011, Chitosan preparations for wounds and burns: antimicrobial and wound-healing effects, *Expert Rev Anti Infect Ther.*, 9, 7, 857–879.
- 8- Darley ESR, McGowan AP, 2004, Antibiotic treatment of gram-positive bone and joint infections, *J. Antimicrob. Chemo.*, 53.6, 928-935.
- 9- Ding H, Zhao CJ, Cui X, Gu YF, Jia WT, Rahaman MN, Wang Y, Huang WH, Zhang CQ, 2014, A Novel Injectable Borate Bioactive Glass Cement as an Antibiotic Delivery Vehicle for Treating Osteomyelitis, *PloS one*, 9.1, 85472.
- 10- Hajibabas M, Mashayekhan S, Nazaripouya A, Naji M, Hunkeler D, Rajabi Zeleti S, Sharifiaghdas F, 2014, Chitosan-gelatin sheets as scaffolds for muscle tissue engineering, *Artif. Cells Nanomed. Biotechnol.*, 43, 124.
- 11- Jia WT, Luo SH, Zhang CQ, Wang JQ, 2010, In vitro and in vivo efficacies of teicoplanin-loaded calcium sulfate for treatment of chronic methicillin-resistant *Staphylococcus aureus* osteomyelitis, *Antimicrob. Agents Chemo.*, 54.1, 170-176.
- 12- Jia WT , Zhang X, Luo SH, Liu X, Huang WH, Rahaman MN, Day DE, Zhang CO, Xie ZP, Wang JO, 2010, Novel borate glass/chitosan composite as a delivery vehicle for teicoplanin in the treatment of chronic osteomyelitis, *Acta biomaterialia*, 6.3, 812-819.
- 13- Karimian M, Mashayekhan S, Baniasadi H, 2016, Fabrication of porous gelatin-chitosan microcarriers and modeling of process parameters via the RSM method, *Int J Biol Macromol*, 88, 288-95.
- 14- Magdalena GD, Czubenko JO, 2010, The effect of ionic crosslinking on thermal properties of hydrogel chitosan membranes, *Progress on Chemistry and Application of Chitin and its Derivatives*, Polish Chitin Society Lodz, 25-32.
- 15- Malinowska Panczyk E, Staroszczyk H, Gottfried K, Kolodziejska I, Wojtasz-Paj A, 2015, Antimicrobial properties of chitosan solutions, chitosan films and gelatin-chitosan films, *Polimery*, 60, 11, 735-741.
- 16- Mansor BA, Lim JJ, Shameli K, Ibrahim NA, Tay MY, 2011, Synthesis of silver nanoparticles in chitosan, gelatin and chitosan/gelatin bionanocomposites by a chemical reducing agent and their characterization, *Molecules*, 16, 9, 7237-7248.
- 17- Movaffagh J, Ghodsi A, Fazly Bazzaz BBS, Sajadi Tabassi SA, Ghodrati Azadi H, 2013, The Use of Natural Biopolymer of Chitosan as Biodegradable Beads for Local Antibiotic Delivery: Release Studies, *Jundishapur J. Nat. Pharm. Prod.*, 8.1, 27.
- 18- Nagarajan M, Benjakul S, Prodpran T, Songtipya P, Kishimura H, 2012, Characteristics and functional properties of gelatin from splendid squid (*Loligo formosana*) skin as affected by extraction temperatures, *Food Hydrocolloids*, 29, 2, 389-397.
- 19- Park JH, Saravanakumar G, Kim K, Kwon IC, 2010, Targeted delivery of low molecular drugs using chitosan and its derivatives, *Adv. Drug Deliv. Rev.*, 62, 1, 28-41.
- 20- Pasparakis G, Bouropoulos N, 2006, Swelling studies and in vitro release of verapamil from calcium alginate and calcium alginate-chitosan beads, *Int. J. Pharm.*, 323, 1, 34-42.

- 21- Pierog M, Druzynska MG, Czubenko JO, 2009, Effect of ionic crosslinking agents on swelling behavior of chitosan hydrogel membranes, *Progress on Chemistry and Application of Chitin and Its Derivatives*, 14, 75-82.
- 22- Ribeiro AJ, Neufeld R J, Arnaud P, Chaumeil JC, 1999, Microencapsulation of lipophilic drugs in chitosan-coated alginate microspheres, *Int. J. Pharm.*, 187, 1, 115-123.
- 23- Sriamornsak P, Nunthanid J, Cheewatanakornkool K, Manchun S, 2010, Effect of Drug Loading Method on Drug Content and Drug Release from Calcium Pectinate Gel Beads, *AAPS Pharm Sci Tech*, 11, 3, 1315-1319.
- 24- Suna L, Chen Y, Zhou Y, Guo D, Fana Y, Guo F, Zheng Y, Chen W, Preparation of 5-fluorouracil-loaded chitosan nanoparticles and study of the sustained release in vitro and in vivo, 2017, *Asian Journal of Pharmaceutical Sciences*, 12, 5, 418-423.
- 25- Ueng SWN, Lin SS, Wang IC, Yang CY, Cheng RC, Liu SJ, Chan EC, Lai CF, Yuan LJ, Chan SC, 1999, In vitro elution of vancomycin from biodegradable beads, *J. Biomed. Mater. Res.*, 48, 5, 613-620.
- 26- Vasconcellos FC, Goulart GAS, Beppu MM, 2011, Production and characterization of chitosan microparticles containing papain for controlled release applications, *Powder Technol.*, 205, 1, 65-70.
- 27- Wichelhaus TA, Dingeldein E, Rauschmann M, Kluge S, Dieterich R, Schafer V, Brade V, 2001, Elution characteristics of vancomycin, teicoplanin, gentamicin and clindamycin from calcium sulphate beads, *J. Antimicrob. Chemo.*, 48.1, 117-119.
- 28- Yenice I, Cali S, Kas H, Ozalp M, Ekizoglu M, Hincal A, 2002, Biodegradable implantable teicoplanin beads for the treatment of bone infections, *Int. J. Pharm.*, (242.1), 271-275.
- 29- Zhang X, Jia W, Gu Y, Xiao W, Liu X, Wang D, Zhang C, Huang W, Rahaman MN, Day DE, Zhou N, 2010, Teicoplanin-loaded borate bioactive glass implants for treating chronic bone infection in a rabbit tibia osteomyelitis model, *Biomaterials*, 31.22, 5865-5874.

Design and fabrication of injectable teicoplanin-loaded polymeric microcarriers

Tavakoli A.,¹ Mashayekhan S.,² Baniasadi H.³ and Hasanzadeh Z.⁴

¹ Dept. of Chemical Engineering, University of Tehran, Tehran, I.R. of Iran.

² Dept. of Chemical and Petroleum Engineering, Sharif University of Technology Tehran, I.R. of Iran.

³ Faculty of Petroleum and Chemical Engineering, Science and Research Branch, Islamic Azad University, Tehran, I.R. of Iran.

⁴ Trauma Research Center, Baqiyatallah University of Medical Sciences, Tehran, I.R. of Iran.

Abstract

The main goal of this research work is to design and fabricate an injectable biocompatible and biodegradable microcarrier (MC) for drug delivery into cartilages and bones. Suitable MCs composed of chitosan and gelatin were fabricated with syringe pump equipped with high voltage system. The MCs were crosslinked with sodium tripolyphosphate (TPP) and the teicoplanin was loaded onto the samples. The crosslinking of the samples was confirmed using FTIR spectra and their morphology was investigated with SEM images. The results confirmed that the MCs were successfully crosslinked with TPP and spherical shaped samples with desired diameter for injection ($350\pm50\text{ }\mu\text{m}$) were achieved with flow rate and voltage of $300\text{ }\mu\text{l/min}$ and 8.5 kV , respectively. A thin layer of chitosan was covered onto the fabricated MCs in order to reduce the drug release rate. The result of release test showed that it was increased from 4 to 5 days for covered samples which is more suitable for the claimed application of fabricated MCs. The antimicrobial test was done on the fabricated teicoplanin-loaded MCs and the obtained results confirmed that the antimicrobial properties of drug were remained even after fabrication process. Overall, the obtained results support that the fabricated MCs have potential for using as drug release devices for treatment of cartilage infections.

Key words: Chitosan, Drug delivery, Gelatin, Microcarrier, Teicoplanin